краткие сообщения

ОПРЕДЕЛЕНИЕ ПАРЦИАЛЬНОГО КОЭФФИЦИЕНТА НЕУПРУГОСТИ НУКЛОНОВ K_{π^0} В ЖЕЛЕЗЕ

м. О. АЗАРЯН, Э. А. МАМИДЖАНЯН, Р. М. МАРТИРОСОВ

Ионизационный калориметр на станции "Арагац", дополненный годоскопом из газоразрядных счетчиков [1], предоставляет широкие возможности для изучения многих характеристик взаимодействия нуклонов с ядрами углерода, железа и свинца в области энергий $10^{12}-10^{13}$ эв.

В настоящей работе приводятся предварительные результаты по измерению парциального коэффициента неупругости K_{π^0} нуклонов в железе.

Схематический вид установки приводится на рис. 1. Детальное ее описание дается в [1].

Отбирались одиночные или с малоплотным воздушным сопровождением (не более 3-х ливневых частиц на площади в 12 M^2 верхнего ряда годоскопа) ядерно-активные частицы с энергией $E_0 \gg 6,0\cdot 10^{11}$ эв, прошедшие через всю установку и вызвавшие взаимодействие в двух верхних железных фильтрах калориметра.

При этом требовалось наличие ионизации минимум в шести рядах калориметра (по три ряда в каждой проекции) при полном отсутствии толчков в двух верхних рядах камер над железом.

Было отобрано 62 нейтральных и 61 заряженное событий в диапазоне энергий $6.0 \cdot 10^{11} - 1.2 \cdot 10^{13}$ эв. Ранее нами было показано [1-2], что подавляющее большинство отбираемых нейтральных событий является нейтронами, а заряженных случаев—протонами. На рис. 2 и 3 приведены примеры зарегистрированных нейтронов и протонов.

Определение усердненной величины парциального коэффициента неупругости K_{π^0} основано на изучении формы электронно-ядерных каскадов в калориметре.

Усредненная каскадная кривая ионизации по 123 случаям взаимодействий нуклонов обоих знаков в верхних железных фильтрах изображена на рис. 4 (кривая 1). Все индивидуальные события предварительно нормировались к энергии $E_0 = 600 \ \Gamma ss$.

Чтобы определить величину $<\!\!K_{\pi^0}\!\!>$ как усредненную карактеристику элементарного акта, необходимо выделить из этой кривой ту долю, которая вызывается фотонами, возникшими в первом акте.

Если воспользоваться электронно-ядерным каскадом, полученным в [2] от усреднения по всем нуклонным взаимодействиям в свинцовых фильтрах и углеродной мишени, то можно выделить усредненный вторичный электронно-ядерный каскад в железе до малых глубин (<200 г/см²). Действительно, первый электронно-фотонный каскад,

and the control of th

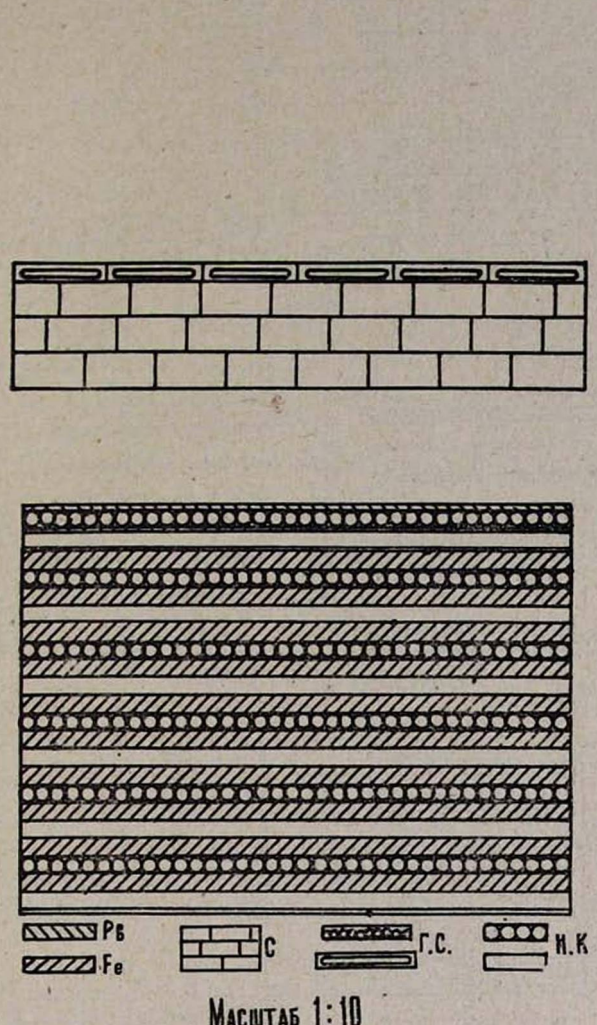


Рис. 1. Схематический вид установки.

развившийся в свинце, почти не доходит до III ряда камер, расположенного под первым слоем железа, и никак не сказывается на ионизационных камерах IV ряда. Вычитая вторичный каскад, также нормированный к $E_0=600\ \Gamma ss$ (рис. 4, кривая 2), из кривой 1, можно получить влектромагнитный ливень E_{τ} от первого акта в железе (рис. 5). Кривые 1 и 2 совмещены в VII ряду камер, где можно считать вторичный каскад полностью поглотившимся.

Указанный метод [3] определения энергии E_7 обладает тем преимуществом, что автоматически учитывает не поддающийся количественной оценке вклад ядерных расщеплений.

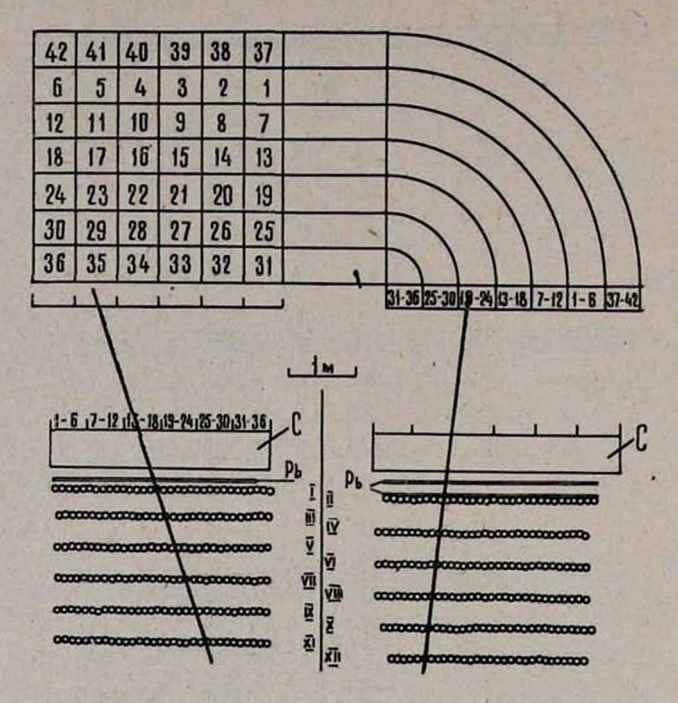


Рис. 2. Пример зарегистрированного событил—одиночный нейтрон с энергией $E_0=1,1\cdot 10^{12}$ эв.

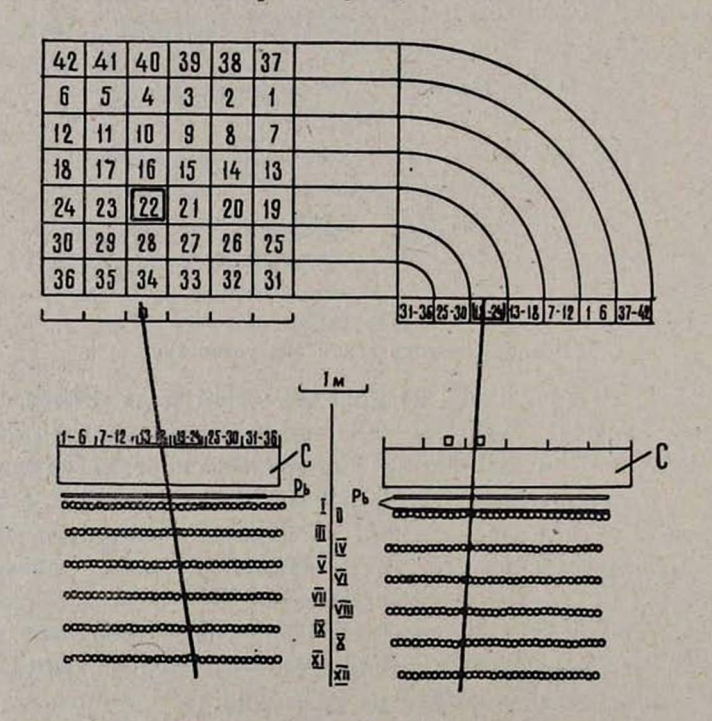
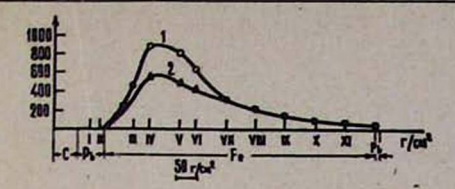


Рис. 3. Пример зарегистрированного события—протон с малолиотным сопровождением с энергией $E_0=1,2\cdot 10^{12}$ ss.



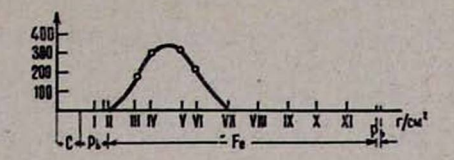


Рис. 4.

Рис. 5.

Рис. 4. Ядерно-каскадная кривая ионизации, усредненная по 123 случаям взаимодействий нуклонов в железе. Усредненный вторичный электронно-ядерный каскад взят из работы [2]. Все индивидуальные события нормированы к энергии $E_0=600$ Гэв.

Рис. 5. Первичный электромагнитный каскад E_{γ} в железе для нуклонов с $E_{o} \geqslant 6,00\cdot 10^{11}$ ss.

Вычисленная таким образом усредненная величина $< K_{\pi^0} >$ в железе равна

 $< K_{\pi^{\circ}} > = \frac{E_{\pi^{\circ}}}{E_0} = 0.25 \pm 0.04.$

(Величина $\langle K_{\pi^o} \rangle = 0.23 \pm 0.04$ для нейтронов и 0.23 ± 0.05 для заряженных частиц).

Результаты настоящей работы хорошо согласуются с данными работ [4, 5] и не согласуются с данными работы [6], где получено заниженное значение K_{π^0} для тяжелых ядер.

В заключение подчеркнем, что полученный результат нуждается в увеличении статистического материала.

Поступила 21.III.1972

ЛИТЕРАТУРА

- 1. Э. А. Мамиджанян и др. Изв. АН АрмССР, Физика, 7, 221 (1972).
- 2. М. О. Азарян, Э. А. Мамиджанян, Р. М. Мартиросов. ЯФ (в печати).
- 3. В. С. Мурзин, Докторская диссертация, ФИАН, М., 1968.
- 4. С. А. Азимов, А. М. Абдуллаев и др. Изв. АН СССР, сер. физ., 28, 1773 (1964).
- С. А. Азимов, Г. А. Кочетков и др. Изв. АН СССР, сер. физ., 30, 1600 (1966).
- 6. И. Н. Фетисов. Изв. АН СССР, сер. физ., 35, 2186 (1971).

ՆՈՒԿԼՈՆԻ ՈՉ ԱՌԱՁԳԱԿԱՆ ՊԱՐՑԻԱԼ ԳՈՐԾԱԿՑԻ ՈՐՈՇՈՒՄԸ ԵՐԿԱԹՈՒՄ.

U. O. UQUEBUL, E. U. UUUFQULBUL, A. U. UUESPENUAL

Ձափված է նուկլոնների ոչ առաձգական պարցիալ գործակիցը երկանում, էներգիայի $6,00\cdot 10^{11}-1,2\cdot 10^{13}$ էվ տիրույթում։ Միջին արժեթը $<\!K_{\pi^0}>=0,25\pm0,\,04$.

THE DETERMINATION OF THE COEFFICIENT OF PARTIAL INELASTICITY OF NUCLEONS IN Fe

M. O. AZARIAN, E. A. MAMIJANIAN, P. M. MARTIROSOV

The coefficient of partial inelasticity of nucleons, $\langle K_{\pi^0} \rangle$ is measured in Fe in the energy range from $6.00 \cdot 10^{11}$ to $1.20 \cdot 10^{13}$ ev.